

偏平 H 型断面柱における 空力弹性振動の発振風速の推定式

九州工業大学 正員 ○ 久保喜延

九州工業大学 正員 加藤九州男

1. まえがき 橋梁の設計という観点からその耐風性を検討する場合、提案された橋梁断面が風の作用によって振動を生ずる可能性があるか否かの判定をすることが重要である。この判定の一つの目安として考えられるのが、橋梁断面に生ずる空力弹性振動がどの程度の風速で発生するかということである。現段階でこの判定を正確に行なうとすると、特定の断面の特定の現象に限られるのが実状である。例えば、円柱・箱型断面柱・H型断面柱等のようなBluff-bodyの曲げ振動における渦励振の発振風速や、平板状断面柱の曲げ揺れフラッターの発振風速はある程度の精度で推定可能である。しかしながら、一般の橋梁断面では空力弹性振動の詳しい発生メカニズムが充分に解明されていないこともあって、この発振風速の推定はかなり困難である。この発振風速の推定を可能にすることを目的として、著者等は、橋梁断面を単純化した断面であるとともに、曲げ振動および揺れ振動が共に発生する断面である偏平H型断面柱を対象として実験的研究を行って来ている。中村等は、H型断面柱および箱型断面柱を用いて、これらに生ずる渦励振はエッヂトーン現象とみることができるとしている。これらのエッヂトーン現象とみなされるBluff-bodyのこれらの空力弹性振動は、Bluff-bodyの前縁から剥離した渦の流下パターンの差による現象としても理解できるとの観点に立って、本研究では動的表面圧力分布の測定から物体表面を流下する渦の分布状況を推定し、これを渦の発生振動数をもとにした無次元量であるストローハル数と関係づけて発振風速の推定法を検討している。

2. 応答と表面圧力分布 本研究に用いている模型はFig.1に示すようにウエブ長B=280mmとした偏平H型断面柱で、前縁および後縁フランジの高さをそれぞれ変更できるようにしたものである。また、ウエブ表面上には表面圧力を測定するための圧力測定孔が9点設けられている。この系の固有振動数は揺れ振動数 $f_t = 10.0\text{Hz}$ (10.6Hz --- 1自由度系の場合)、曲げ振動数 $f_b = 5.25\text{Hz}$ で、対数構造減衰率はそれぞれの振動モードに対して $\delta_t = 0.0032$ 、 $\delta_b = 0.0072$ である。Fig.2は前縁フランジ高 $h_1 = 42\text{mm}$ ($h_1/B = 0.15$)、後縁フランジ高 $h_2 = 56\text{mm}$ ($h_2/B = 0.20$)とした断面 H-15-20のたわみ(曲げ)振動および揺れ振動の応答図である。これによると、たわみ振動の発振風速は $V = 1.25\text{m/s}$ および $V = 2.5\text{m/s}$ となっており、揺れ振動の発振風速は $V = 3.1\text{m/s}$ および $V = 7.4\text{m/s}$ となっている。また、ウエブ長を代表長としたストローハル数は $S_t = 0.59$ である。ストローハル数から推定される渦励振の発振風速は、たわみ振動の場合は $V = 2.5\text{m/s}$ となって高風速側の発振風速とは一致するが、低風速側の発振風速の説明はできない。また、揺れ振動について見ると、ストローハル数から推定される発振風速は $V = 5.5\text{m/s}$ となり、応答実験結果とはかなりかけ離れたものとなっている。すなわち、揺れ振動の場合はストローハル数の定義からその発振風速を単純に推定することが困難であることを裏付けている。しかしながら、この空力弹性振動は物体上に発生している渦の働きによるものであることは確かであるから、物体上に分布している渦の配置を検討することによりこの発振風速との関係を見い出せるはずである。そのために行ったのが表面圧力分布の測定である。変位波形を時間の基準にとって、各圧力測点の測定結果から上下面の圧力差と

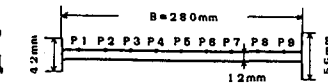


Fig.1 供試模型

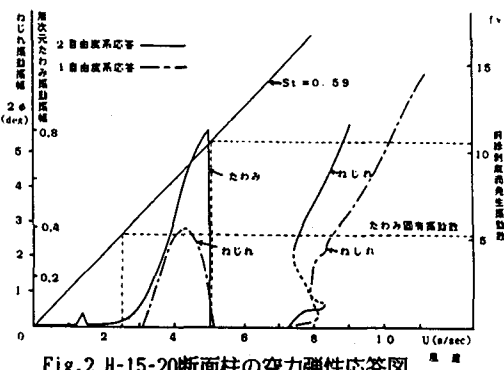


Fig.2 H-15-20断面柱の空力弹性応答図

して変位状態に対応したウエブ表面圧力差としてそれを示したのが、Fig.3である。この中で、 $V=4.25\text{m/s}$ および $V=10.5\text{m/s}$ は損れ振動時のもので、 $V=5.5\text{m/s}$ はたわみ振動時のものである。この図の下に示しているのは、著者等が提案した各測点間の動的圧力の位相差から渦の配置を知る方法により求めた各風速における渦の分布状況を示したものである。

3.発振風速の推定式 これらから各振動状態における渦分布の特性を述べると、振動時にウエブ上に分布する渦間距離の半分を λ とした場合、 m を整数とすると、たわみ振動時にはウエブ長 B との関係が $B=2xm\lambda$ となつておらず、損れ振動時には $B=(2xm-1)\lambda$ となっている。これをストローハル数と関係づけて発振風速 V_c の推定式を作ると次式のようになる。

$$V_c = f \cdot B / S_t \cdot n$$

V_c :発振風速 f :固有振動数 B :代表長

S_t :ストローハル数

$n=0.5x(2xm)$ ---- たわみ振動に対して

$n=0.5x(2xm-1)$ --- 損れ振動に対して

Fig.2に示した場合の空力弹性振動の発振風速の推定を行うと、Table-1のようになる。これによると、損れ振動の $m=1$ 以外の場合、すなわちフランジ除いたものについては実験値と推定値とはほぼ一致しており、上式による推定が妥当であることを裏付けている。またフランジ高がウエブ長のそれぞれ10%, 15%, 20%, 25%であるH-10-10, H-15-15, H-20-20, H-25-25の各偏平H型断面柱の損れ振動の応答結果がFig.4である。これらに対して上式で推定した発振風速値と実験値とを比較すると、Table-2のようになり、H-1-2-20の場合程の精度ではないが、10%程度の誤差での推定が可能となっている。

4.まとめ 偏平H型断面を用いて、表面圧力分布の位相差から物体表面上における渦の分布を推定することにより、発振風速の推定を行ったところ、提案式によって渦励振域における発振風速の推定がかなりの精度で行えることがわかった。しかしながら、フランジ一域についての推定にはさらに詳しい検討が必要である。特に、不安定なりミットサイクルを有するフランジ一域の特性に対する考察を加えることが、フランジ一域の発振風速推定の鍵となると考えられる。この点に着目した研究を今後進めて行くつもりである。

Table1 発振風速の比較(H-15-20)(m/s)

振動	m	推定式	実験値
たわみ	1	2.5	2.5
振動	2	1.3	1.3
ねじれ	1	9.5	7.9
振動	2	3.16	3.1

Table2 ねじれ振動の発振風速(m=2)(m/s)

断面の種類	推定式	実験値
H-10-10	---	3.45
H-15-15	3.14	2.80
H-20-20	3.27	2.85
H-25-25	3.06	2.60

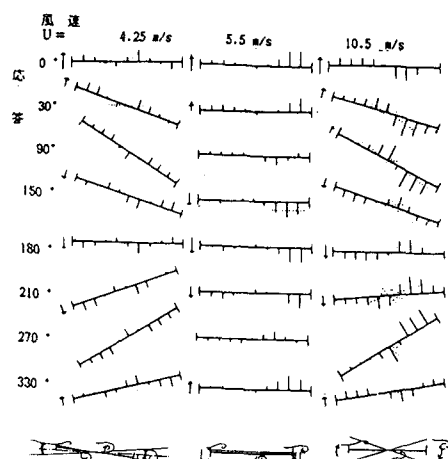


Fig.3 応答時の上下面圧力差変動分布図

$2\phi(\text{deg})$

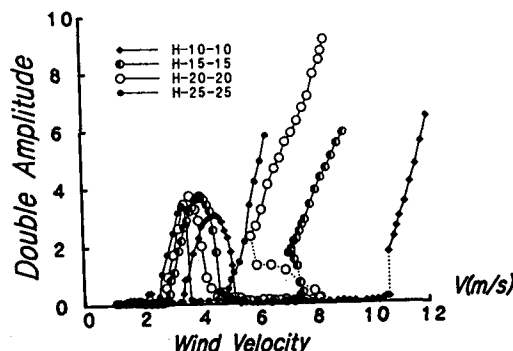


Fig.4 種々の偏平H型断面柱の損れ振動応答図